

УДК 551.465

НОВЫЙ КЛАСС СПИРАЛЬНЫХ ТЕЧЕНИЙ ЖИДКОСТИ В БАССЕЙНЕ НА НАКЛОННОЙ ПЛОСКОСТИ

Н. К. Шелковников, С. А. Арсеньев

(кафедра физики моря и вод суши)

В работе [1] сообщается о наблюдении изменения по глубине модуля и направления скорости течения жидкости в озере, подобного знаменитой спирали Экмана, предсказанной теоретически [2] и впоследствии обнаруженной в океане [3], или спиральям Акерблома и Экнера, развивающимся в атмосфере [4, 5, 6]. В работе [1] не дано анализа явления, хотя и указано, что оно не может быть объяснено эффектом вращения Земли: вектор скорости течений отклонялся влево от направления ветра. Кроме того, отмечено, что явление вращения скоростей течений по глубине наблюдается только в южной части озера.

В настоящей работе будет показано, что это явление обусловлено ветром, дующим над поверхностью воды, уклоном дна и силой тяжести Земли. Подобные условия реализуются в бассейнах, расположенных на наклонной плоскости, например в реках, проточных водоемах, озерах или водохранилищах.

Направляя ось x по наклонной плоскости, ось y — перпендикулярно к ней, ось z — вниз и выбирая начало координат на поверхности воды, запишем уравнения теории и граничные условия в виде

$$\frac{d}{dz} \left(A \frac{du}{dz} \right) + g \sin \gamma = 0, \quad (1)$$

$$\frac{d}{dz} \left(A \frac{dv}{dz} \right) = 0, \quad (2)$$

$$A \left(\frac{du}{dz} \right)^2 + A \left(\frac{dv}{dz} \right)^2 = D, \quad (3)$$

$$D = c B^{3/2} / L, \quad A = L \bar{B}^{1/2}, \quad c = \text{const} = 1/16, \quad (4)$$

$$L = -2\alpha c^{1/4} \left[\frac{d}{dz} (\ln \psi) \right]^{-1}, \quad \psi = \left(\frac{du}{dz} \right)^2 + \left(\frac{dv}{dz} \right)^2, \quad \alpha = \text{const} = \frac{2}{5}, \quad (5)$$

$$A \frac{du}{dz} = -T_x^0, \quad A \frac{dv}{dz} = -T_y^0 \quad \text{при } z = 0, \quad (6)$$

$$u = v = 0 \quad \text{при } z = H - z_0, \quad (7)$$

$$L \rightarrow 0 \quad \text{при } z \rightarrow H, \quad (8)$$

где T_x^0 , T_y^0 — плотности потоков импульса на поверхности, нормированные на плотность воды, по осям x и y соответственно, H — глубина, z_0 — высота шероховатости, остальные обозначения общеприняты [6—11].

Система уравнений (1)—(8) описывает горизонтально-однородное установившееся турбулентное течение жидкости, возбуждаемое равномерным ветром и силой тяжести. Предполагается, что изучаемая вертикаль находится достаточно далеко от берегов и влиянием на течение боковых границ бассейна можно пренебречь. В уравнениях (1), (2) не учтена сила Кориолиса: известно, что в мелких бассейнах влияние этой

силы несущественно [11]. Кроме того, для упрощения задачи не будем учитывать молекулярную вязкость и диффузию энергии турбулентности*.

Уравнения (1) — (4), (6), (7) позволяют сразу же определить кинетическую энергию турбулентности в единице массы:

$$B = \frac{1}{c^{1/2}} [(gz \sin \gamma + T_x^0)^2 + (T_y^0)^2]^{1/2}. \quad (9)$$

С другой стороны, из (3) — (5) следует:

$$\frac{dL}{dz} - \frac{L}{B^{1/2}} \frac{dB}{dz} = \kappa c^{1/4}. \quad (10)$$

Уравнение (10) имеет решение

$$L = \kappa c^{1/4} B^{1/2} \int_z^H \frac{dz}{B^{1/2}}, \quad (11)$$

удовлетворяющее условию (8). Используя теперь (4) и (11), найдем:

$$A = \kappa c^{1/4} B \int_z^H \frac{dz}{B^{1/2}}. \quad (12)$$

Формулы (9), (11) и (12) определяют характеристики турбулентности B , L и A как функции вертикальной координаты. Отметим, что интегралы (11), (12) при значении величины B , определяемой формулой (9), в элементарных функциях не выражаются.

В случае отсутствия уклона дна ($\gamma=0$) или ускорения силы тяжести ($g=0$) из формул (9), (11) и (12) можно найти решение задачи о ветровой циркуляции в мелком бассейне известной глубины [10]:

$$B = T^0/c^{1/2}, \quad L = \kappa c^{1/4} (H - z), \quad A = \kappa u_* (H - z), \quad (13)$$

$$u = \frac{1}{\kappa} \frac{T_x^0}{u_*} \ln \left(\frac{H - z}{z_0} \right), \quad v = \frac{1}{\kappa} \frac{T_y^0}{u_*} \ln \left(\frac{H - z}{z_0} \right), \quad (14)$$

где

$$T^0 = [(T_x^0)^2 + (T_y^0)^2]^{1/2}, \quad u_* = (T^0)^{1/2}.$$

Из решения (14) следует, что угол поворота вектора скорости течения $\varepsilon = \text{arctg}(v/u) = \text{arctg}(T_y^0/T_x^0)$ не зависит от вертикальной координаты z : течение на всех глубинах направлено по ветру.

Аналогично, в случае отсутствия ветра ($T_x^0 = T_y^0 = 0$) находится решение задачи о течении по наклонной плоскости:

$$B = g \sin \gamma \cdot z/c^{1/2}, \quad L = 2\kappa c^{1/4} (H^{1/2} - z^{1/2}) z^{1/2}, \quad (15)$$

$$A = 2\kappa (g \sin \gamma)^{1/2} (H^{1/2} - z^{1/2}) z, \quad (16)$$

$$u = \frac{(g \sin \gamma \cdot H)^{1/2}}{\kappa} \left\{ \ln \left[\frac{1 - z^{1/2}/H^{1/2}}{1 - (H - z_0)^{1/2}/H^{1/2}} \right] + \left(\frac{z}{H} \right)^{1/2} - \left(\frac{H - z_0}{H} \right)^{1/2} \right\}, \quad (17)$$

$v=0$ (течение направлено вдоль оси x).

* Тем самым мы отказываемся от точного описания очень тонких пограничных слоев, где соответствующие эффекты играют важную роль.

На рис. 1 приведены результаты расчета профиля скорости течения по формуле (17) — кривая 2 и данные измерений в дельте Волги. Как видим, соответствие теории и эксперимента хорошее.

Анализ формул (15), (16) показывает, что масштаб турбулентности L и коэффициент вихревой вязкости A имеют максимум в центральной области потока: при $z=H/4$ и $z=4H/9$ соответственно, обращаясь на поверхности и вблизи дна в ноль. Энергия же турбулентности B имеет вблизи дна максимум, обращаясь в ноль только на свободной поверхности воды. Подобный вид зависимости характеристик турбулентности B , L и A от вертикальной координаты z подтверждается

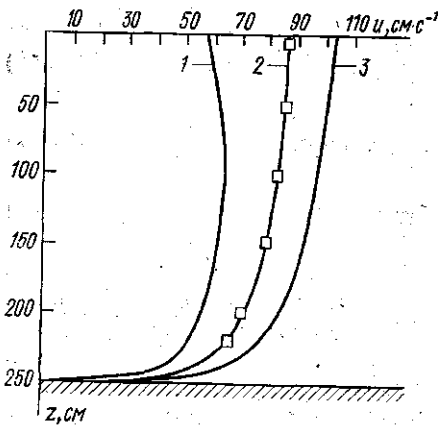


Рис. 1. Рассчитанные профили скорости течения в потоке на наклонной плоскости: при нагоне (1), при штиле (2), при сгоне (3); \square — данные наблюдений в дельте р. Волги при штиле

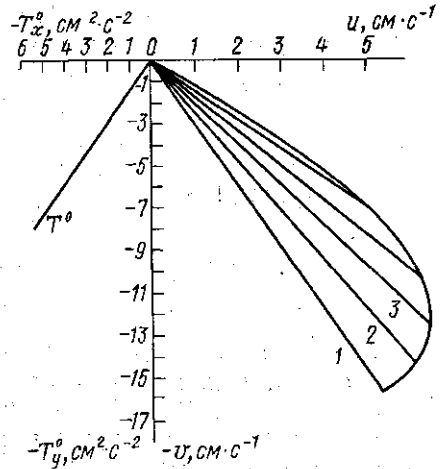


Рис. 2. Полярная диаграмма спирально-го вращения результирующего вектора скорости течения по глубине: вектор скорости течения на глубинах $z=0$ (1), 50 (2), 100 (3) см и т. д.; T^0 — тангенциальное напряжение ветра на поверхности воды; при отсутствии ветра течение направлено вдоль оси x : $v=0$, $u \neq 0$

численными расчетами [12] и данными прямых измерений турбулентности в каналах [13, 14],

В рассмотренных примерах вращение скорости течения по глубине отсутствует — течение либо направлено по ветру, либо вдоль наклонной плоскости. Приведем аналитическое решение еще одной задачи, в которой нет вращения, — задачи о ветровом нагоне ($T_x^0 < 0$) или сгоне ($T_x^0 > 0$) в бассейне на наклонной плоскости при отсутствии поперечной составляющей ветра ($T_y^0 = 0$). Имеем:

$$B = \frac{1}{c^{1/2}} |g \sin \gamma \cdot z + T_x^0|, \quad (18)$$

$$L = \frac{2\kappa c^{1/4}}{g \sin \gamma} |T_x^0|^{1/2} [|T_x^H|^{1/2} - |T_x^0|^{1/2}], \quad (19)$$

$$A = \frac{2\kappa}{g \sin \gamma} |T_x^0| [|T_x^H|^{1/2} - |T_x^0|^{1/2}], \quad (20)$$

$$u = \frac{|T_x^0|^{1/2}}{\kappa} \left\{ \ln \left[\frac{|T_x^H|^{1/2} - |T_x^0|^{1/2}}{|T_x^H|^{1/2} - |T_x^{H-z_0}|^{1/2}} \right] + \left| \frac{T_x^0}{T_x^H} \right|^{1/2} - \left| \frac{T_x^{H-z_0}}{T_x^H} \right|^{1/2} \right\}, \quad (21)$$

$v=0$, причем турбулентные напряжения в воде T_x определяются формулой

$$T_x = g \sin \gamma z + T_x^0, \quad (22)$$

а функции T_x^H и $T_x^{H-z_0}$ определяются из (22) при $z=H$ и $z=H-z_0$ соответственно. На рис. 1 показаны результаты расчетов по формулам (21), (22) искажения вертикального профиля скорости течения по наклонной плоскости действием ветра. Кривая 1 соответствует нагонному ветру: -20 м/с, кривая 2 — штилю, кривая 3 — сгонному ветру: 20 м/с. При расчетах уклон реки принимался равным $8,66 \cdot 10^{-5}$, глубина — 250 см и высота шероховатости — $0,1$ см.

Наконец, рассмотрим общий случай, когда течение возбуждается произвольным ветром, силой тяжести и уклоном дна. Спиральное вращение результирующего вектора скорости течения по глубине иллюстрируется полярной диаграммой (рис. 2), полученной численным интегрированием системы (1) — (8). Расчеты проводились при значениях $H=280$ см, $z_0=30$ см и $\gamma=5 \cdot 10^{-5}$. Цифры у кривых соответствуют различным глубинам: 1 — вектор скорости течения на глубине $z=0$, 2 — на глубине $z=50$ см, 3 — на глубине 100 см. Как видим, ветер рассеивает течения по наклонной плоскости. В результате возникает спираль, сильно напоминающая спираль Экмана—Акерблома—Экснера, но отличающаяся от нее порождающими причинами. В частности, полученная спираль может вращаться в любую сторону в зависимости от направления ветра.

В заключение отметим, что эффекты, обусловленные совместным действием ветра, силы тяжести Земли и уклона дна, могут наблюдаться в устьях рек. По-видимому, этот случай и имел место в измерениях [1]: станция, на которой было зарегистрировано вращение векторов течений по глубине, находилась недалеко от устья реки Волхов.

СПИСОК ЛИТЕРАТУРЫ

- [1] Филатов Н. Н. Изв. Всесоюз. географ. общества, 1975, 107, № 3, с. 253.
[2] Ekman V. W. Arkiv Mat. Astron. Fysik, 1905, 2, N 11, p. 11. [3] Hankins K. Deep-sea Res., 1966, 3, N 6, p. 607. [4] Akерblom F. Nova Acta Reg. Soc. Sc., 1908, ser. 4, 2, N 2, p. 1. [5] Ехнер F. M. Ann. d. Hydr. u. Marit. Met., 1912, 5, p. 226. [6] Монин А. С. Изв. АН СССР, сер. географ. и геофиз., 1950, 14, № 3, с. 232. [7] Арсеньев С. А. Изв. АН СССР. Сер. ФАО, 1977, 13, № 12, с. 1034.
[8] Зилитинкевич С. С., Лайхтман Д. Л., Монин А. С. Изв. АН СССР. Сер. ФАО, 1967, 3, № 3, с. 297. [9] Коротчаев Г. К., Куфтарков Ю. М., Фельзенбаум А. И. ДАН СССР, 1976, 231, № 4, с. 833. [10] Куфтарков Ю. М., Фельзенбаум А. И. В кн.: Проблемы теории ветровых и термохалинных течений. Севастополь, МГИ АН СССР, 1968, с. 90. [11] Фельзенбаум А. И. В кн.: Итоги науки и техники, Гидромеханика, 1968. М.: Изд-во ВИНТИ, 1970, с. 100. [12] Игнатьева Г. Ш., Квон В. И. Метеорология и гидрология, 1978, № 7, с. 50. [13] Гришанин К. В. Динамика русловых потоков. Л.: Гидрометиздат, 1979. [14] Шелковников Н. К., Букина Л. А., Миронов П. В. Метеорология и гидрология, 1980, № 3, с. 93.

Поступила в редакцию
23.09.82